

les céramiques.

$$\text{I. 1. 4. } Z_{(O)} = 8 \quad 1s^2 2s^2 2p^4$$

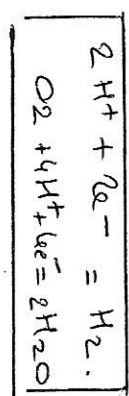
$$Z_{(H)} = 1 \quad 1s^2$$



I. 1. 2. On a  $2H^+ + 2e^- = H_2$   
donc  $H_2$  est le réducteur qui est  
oxydé à l'anode (pôle  $\ominus$ )  
donc électrode 1:  $\ominus$  et électrode 2:  $\oplus$

les e- partent de 1, vont vers 2

I. 1. 3.



I. 1. 4. La combustible est  $H_2$  (cf I. 1. 2)

I. 1. 5. On a  $\boxed{2H_2 + O_2 = 2H_2O}$ .

$$\text{I. 1. 6. } \eta(H_2) = 2 \times \eta(H) = 2g \cdot \text{mol}^{-1}$$

$$m = \frac{m}{n} \quad \text{A.N. : } m = \frac{1,5}{2 \cdot 10^{-3}} = \frac{1,5}{20} \cdot 10^4 \text{ mol}$$

$$= 0,75 \cdot 10^4 \text{ mol} = 7,5 \cdot 10^3 \text{ mol}$$

$$\text{On a } PV = nRT \Rightarrow V = \frac{nRT}{P}$$

$$\text{A.N. : } V = \frac{750 \times 8 \times 300}{10^5} = \frac{1,8 \cdot 10^5}{10^5} = 1,8 \text{ m}^3$$

I. 1. 7. Avantage: produit  $H_2O$  non polluant. Inconvénient: gaz à stocker et à fournir (risque explosion).

I. 2. 1. On aura  $|X_{Ti} > X_{Zirconium}|$  car l'électronegativité  $\rightarrow$  si on monte dans la CP.

I. 2. 2.  $Z = 22$  pour Ti

$$\begin{array}{c} 1s^2 \\ 2s^2 2p^6 \\ 3s^2 3p^6 3d^2 \\ 4p^2 \end{array}$$

Sait dans l'ordre naturel

$$\begin{array}{c} 1s^2 \\ 2s^2 2p^6 \\ 3s^2 3p^6 3d^{10} \\ 4s^2 4p^6 4d^2 5s^2 \end{array}$$

Structure du zirconium, se termine en  $4d^2$   
donc :

suit dans l'ordre naturel,

$$\begin{array}{c} 1s^2 \\ 2s^2 2p^6 \\ 3s^2 3p^6 3d^{10} \\ 4s^2 4p^6 4d^2 5s^2 \end{array}$$

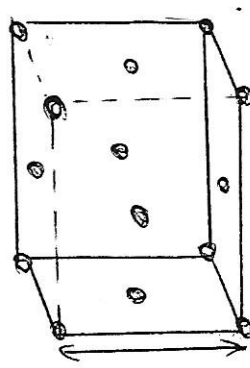
I. 2. 3. Principe d'exclusion Pauli:

2e- ne peuvent pas avoir les m<sup>es</sup> mêmes quantiques secondaires ds p'tat fondamental de l'atome.

Sous-couches ont m (m+l) alors on remplit d'abord celle de m le  $\ominus$  facile -

Règle de Hund: on remplit le maximum de cases quantiques, avec des e- de spin de m<sup>es</sup> sens.

I. 2. 4.



$$N_+ = 6 \times \frac{1}{2} + 8 \times \frac{1}{8} = \boxed{4}$$

↑ faces      ↑ sommets

I. 2. 5. La compacité est de  $\boxed{0,74}$   
c'est la compacité maximale car la face et l'hexagone sont compacte

Sont les 2 structures qui permettent d'avoir un espace vacant minimal

I. 2. 6. Les sites T se situent au centre de cube d'arête a/2 (cf I. 2. 1)  
Il y en a  $\boxed{8}$  en propre à la maille fondamentale de l'atome, on range

I.2.7. Selon la grande diagonale d'un cube d'arête  $a/2$

$$\frac{\alpha\sqrt{3}}{2} = 2 R_+ + 2 R_-$$

or  $\alpha\sqrt{2} = 4 R_+$  donc :

$$\frac{\alpha\sqrt{3}}{4} - \frac{\alpha\sqrt{2}}{4} = R_- = \frac{\alpha}{4} (\sqrt{3} - \sqrt{2})$$

I.2.8. Tous les sites + sont occupés donc il y a  $\frac{8 O^{2-}}{1}$  par maille.

I.2.9. On aura :  $4 Zr^{4+}$  et  $8 O^{2-}$  Soit

$$[ZrO_2]$$

I.2.10. Coordonnée d'anion pour un cation : nbre de + proches à partir d'un + est de 8 mais car tout somme est entouré de 8 sites. Ainsi les coordonnées des cations pour un anion : soit  $[de 4]$  car  $(-)$  occupe un site T.

I.2.11. On aura :

$$\rho = \frac{m}{V} = \frac{\pi \times m}{Na \times V} = \frac{4 M_{Zr} + 8 M_O}{Na \times \alpha^3} = \frac{\pi \times N}{Na \times V} = \frac{10^{-9} \text{ g}}{10^{-2}}$$

I.3.1. On a  $O^{2-}$  donc  $O_3$  a une charge de -6.  $Y_{2O_3}$  en 1 autre donc 2 Y ont une charge de +6 soit  $[Y^{3+}]$

II.1.2.

$C(s)^+$   $2O^{2-} = CO_2(g)^+$  - 1 mol / e-

on a oxydation donc anode -

III.1.3.  $Al^{3+} + 3e^- \rightarrow Al(e)$ .

on a réduction donc cathode -

I.3.2. On remplace  $Zr^{4+}$  de

charge +4 par  $Y^{3+}$  de charge +3 - on la charge  $(\oplus)$

III.3.  $x = \frac{M_Y 3+}{M_{Zr} 4+}$  et  $1 - x = \frac{M_{Zr} 4+}{M_{Zr} 4+}$

Auparavant  $4 Zr^{4+}$  et  $8 O^{2-}$

Désormais  $x Y^{3+} + (1-x) Zr^{4+} + y O^{2-} = 0$

Soit  $x \times 3 + (1-x) \times 4 + (-2) \times y = 0$

$y = -\frac{x \times 4 + 4}{2} = 2 - \frac{x}{2}$

$[Zr_1 - x Y_2 O_2 - \frac{x}{2}]$

III.2.1.  $\nabla g^{2+} + 2e^- = \nabla g(s)$

III.2.2.  $Eng^{2+} = E^\circ + \frac{0.06}{2} \log \frac{[\nabla g^{2+}]}{C^o}$

Nernst :  $Eng^{2+} = E^\circ + \frac{0.06}{2} \log \frac{[\nabla g^{2+}]}{C^o}$

A la frontière  $\nabla g^{2+} / \nabla g(s)$

$[\nabla g^{2+}] = C = 10^{-2} \text{ mol. l}^{-1}$  et on lit  $E = -2V / ESR$

Sait  $-2,42 = E^\circ - 0,06$

$\Leftrightarrow E^\circ = -2,36 V / ESR +$

III.2.2.  $K_S = [H^+]^2 \times [\nabla g^{2+}]$

A la frontière  $[H^+] = \frac{K_e}{[\nabla g^{2+}]} = \frac{10^{-14}}{10^{-9}} = 10^{-5}$

$= 10^{-4,5} \text{ mol. l}^{-1}$  et  $[\nabla g^{2+}] = 10^{-2} \text{ mol. l}^{-1}$

$K_S = 10^{-9} \times 10^{-2} = 10^{-11}$

I.3.3. Ce dopage crée des lacunes (trous) dans l'électrolyte. Ainsi les anions  $O^{2-}$  peuvent se déplacer

→ le silicium est l'électrolyte, qui laisse passer les charges -

III.1.1.  $[Al_2O_3] \rightarrow 2 Al^{3+} + 3 O^{2-}$

car on sait que O s'accapone  $2e^-$  et  $Al_2O_3$  est neutre.

$$\text{On a } E_{\text{Fe}^{2+}/\text{Fe}}^{\circ} > E_{\text{Mg}^{2+}/\text{Mg}}^{\circ}$$

Sait  $\text{Fe}^{2+}$  est l'oxydant de  $\text{Fe}^{2+}$  fort, qui va être réduit par  $\text{Mg}$  qui est le réducteur le  $\text{Fe}^{2+}$  fort.

$\text{Mg}$  est oxydé à l'anode

$$\text{Mg} = \text{Mg}^{2+} + 2e^-$$



$$\text{II. 2. 4. - On a } m_{\text{Mg}} = \frac{m_{\text{e}^-}}{2} = \frac{m_{\text{Mg}}}{\text{M}_{\text{Mg}}}$$

$$\overline{I} = \frac{\Delta q}{\Delta t} = \frac{n_{\text{e}^-} \times F}{\Delta t} = 2 \frac{m_{\text{Mg}} \times F}{\Delta t}$$

$$= \frac{2 m}{M \Delta t} \times F. \quad \text{Sait } \boxed{\Delta t = t = \frac{2 m F}{M \times I.}}$$

B. Étude d'un pendule

$$1. \quad \overline{J}_{\text{tot}} = J_0 + mL^2 = \boxed{\frac{1}{3} m L^2 + mL^2}$$

2. On veut que  $J_0 < 0,15 \overline{J}_{\text{tot}}$

$$\frac{1}{3} m L^2 = 0,15 \times \left( \frac{1}{3} m L^2 + mL^2 \right)$$

$$\frac{3}{0,85 \times \frac{1}{3} m L^2} = 1 \text{ min.}$$

$$0,15 \times m$$

$$L_{\text{min}} = \sqrt{\frac{85}{45} \frac{m}{m}} \times L_0.$$

Sait  $L_{\text{min}} = \sqrt{\frac{m}{3} \frac{m}{m}} \times L_0$

$$3. \quad L_{\text{min}} = \sqrt{2 \times \frac{18}{185}} \times 46$$

$$L_{\text{min}} \approx \sqrt{0,2} \times 46 \approx 3 \times 1,4 \times 10^{-1} \times 46$$

$$\approx 4,2 \times 46 \cdot 10^{-1} = 193,2 \cdot 10^{-1} \text{ cm}$$

$$\boxed{= 19,3 \text{ cm}}$$

4. La liaison pivot est parfait si la résultante du bâti sur le rotor a une droite d'act<sup>o</sup> passant par le centre de rotation. On a alors

$$\boxed{J_0(\vec{\text{pivot}}) = 0}$$

5. On a donc  $\overline{J}_{\text{tot}} = mL^2$

TRC en project<sup>o</sup> sur l'axe de rotation:

$$\frac{d\overline{J}_{\text{tot}}}{dt} = J_0 \ddot{\theta} + J_0 \dot{\theta} (\vec{\text{pivot}}) + \vec{r}_0$$

$$\text{avec } \vec{J}_{\text{tot}} = J_{\text{tot}} \hat{\theta} \quad J_{\text{tot}} = \text{cste}$$

$$\text{Sait } J_0 \ddot{\theta} = -mgL \sin \theta - \beta \dot{\theta}$$

$$\text{d'où } \boxed{\ddot{\theta} + \frac{\beta}{m} \dot{\theta} + \frac{mgL}{m} \sin \theta = 0}$$

dans l'apprx des petits angles :

$$\sin \theta \approx 0 \quad \text{soit} \\ \ddot{\theta} + \frac{\beta}{m} \dot{\theta} + \frac{mgL}{m} \theta = 0$$

$$\text{On identifie: } \beta / \overline{J}_{\text{tot}} = \frac{\omega_0}{Q}$$

$$\text{et } \boxed{Q = \omega_0 \overline{J}_{\text{tot}}} \quad \text{soit:}$$

$$\boxed{\omega_0 = \sqrt{\frac{g}{L}}}$$

$$\text{et } Q = \frac{\omega_0 \overline{J}_{\text{tot}}}{\beta}.$$

$$6. \quad \text{Equat<sup>o</sup> caractéristique:}$$

$$\ddot{\theta} + \frac{m}{Q^2} \ddot{\theta} + \frac{mg}{Q} \theta = 0.$$

$$\Delta = \frac{m}{Q^2} - 4 \frac{mg}{Q^2} = 0$$

pseudo périodique -

$$\text{Solut<sup>o</sup> } \theta_{1/2} = -\frac{m}{2Q} \pm j \frac{1}{2} \sqrt{4 \frac{mg}{Q^2} - \frac{m}{Q^2}}$$

$$= -\frac{m}{2Q} \pm j \omega_0 \sqrt{1 - \frac{1}{4Q^2}}$$

$$\text{Sait } \boxed{\frac{T}{2} = \frac{2Q}{\omega_0} = \frac{2m}{\beta}}$$

$$\text{et } \boxed{\Omega = \omega_0 \sqrt{1 - \frac{1}{4Q^2}}} = \sqrt{\frac{g}{L}} \times \sqrt{1 - \frac{1}{4 \left( \frac{m}{\beta} \right)^2}}$$

$$\text{Si } Q \gg 1 \text{ alors } \boxed{\Omega \approx \omega_0}$$

7. L'amortissement se fait très lentement, c'est un oscillateur de bonne qualité,

Pour  $L \in [5; 20 \text{ cm}]$ , on a  $L < L_{\text{min}}$  donc le modèle n'est plus valable.

11. D'après le graphique;

8. Grâce à la tangente à l'enveloppe à l'origine, on a une estimation de  $\tau$ .

$$\text{On trouve } [\tau \approx 100 \text{ s}].$$

Grâce au graphique de droite, on

$$\text{a } T_N \text{ à } 1 \text{ s} \text{ d'où : } \Omega \approx \omega_0 = \frac{2\pi}{T} =$$

$$= 6 \text{ rad. s}^{-1}$$

$$\begin{aligned} 9. \text{ On a } Q &= \frac{1}{2} \omega_0 \tau \\ \text{A.N. } Q &\approx 0, 5 \times 6 \times 100 \\ &= 300. \end{aligned}$$

$$\text{On a } \omega_0 = \sqrt{g/L} \rightarrow L = \frac{g}{\omega_0^2} \underset{Q \gg 1}{\approx} \frac{L}{\tau^2}$$

$$\text{A.N. : } L = \frac{\omega_0^2}{36} = \frac{9}{0, 25 \text{ m.}} =$$

10. On a  $\tau = \frac{2\pi L}{\beta}$ , donc  $\tau = f(L)$  est bien une droite passant par l'origine de pente  $\frac{2\pi}{\beta}$ .

11. On a  $\omega_0^2 = g/L \approx 4 \text{ m}^{-1}$

d'où  $\omega_0 \approx \sqrt{4} \text{ rad. s}^{-1} = 2 \text{ rad. s}^{-1}$ .

12. On sait que  $\omega_0^2 = g/L \approx \frac{L}{25 \text{ cm}}$

régression linéaire de pente  $g$  jusqu'à  $1/L \approx 4 \text{ m}^{-1} \rightarrow L \approx 25 \text{ cm}$

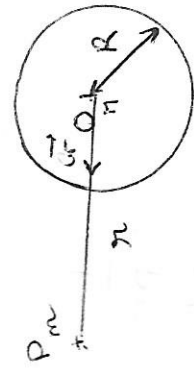
donc le modèle  $\omega_0^2 = g/L$  semble correct pour  $L \in [25; 45 \text{ cm}]$ .

13. On a  $g = \text{pente } \frac{40 - 20}{4 - 2} \approx 10 \text{ rad. s}^{-2} \text{ m}^{-1}$ .

$$= \frac{10 \text{ m.s}^{-2}}{2}$$

C. Trou noir -

1.



$$\vec{F} = -G \frac{m M}{r^2} \vec{u}_r \text{ conservative}$$

$$\vec{F}_P = - \frac{dE_P}{dr} \vec{u}_r \text{ soit } \frac{dE_P}{dr} = \frac{GmM}{r^2}$$

$$E_P(r) = -\frac{GmM}{r} + \text{cste} \Rightarrow E_P(r \rightarrow +\infty) =$$

$$E_C = \frac{1}{2} m v^2 = \frac{1}{2} m \vec{u}_r^2 + \frac{1}{2} m \vec{u}_\theta^2 \text{ car } \vec{u}^2 = \vec{u}_r^2 + \vec{u}_\theta^2$$

vers  $r \rightarrow +\infty$  Etat libre ou de diffusion -

3. La seule force qui s'applique est gravitationnelle qui est conservative donc :  $\Delta E_m$ :

$$\Delta E_m = \mathcal{W}_{\text{f_dissip}} = 0$$

$\Rightarrow \boxed{E_m = \text{cste}}$

$$\Delta E_m = \mathcal{W}_{\text{f_dissip}} = 0$$

4. Théorème du moment cinétique:

$$\frac{d\vec{\sigma}_o}{dt} = \vec{\sigma}_n \cdot \vec{F} = 0 \text{ car } \vec{F} \text{ et}$$

$\vec{\sigma}$  sont //.

d'où  $\vec{\sigma}_o = \text{cste}$  (direction,

sens et norme)

$$V + \frac{\vec{\sigma} \perp \vec{\sigma}_o}{\vec{\sigma} \perp \vec{\sigma}_o} \text{ de direct° cste.}$$

5. La vitesse de libération est la vitesse nécessaire pour échapper à l'attraction de l'astre

→ état libre / loi limite donnée pour  $E_m = 0$ .

or pour un mot circulaire :

$$E_m = \frac{1}{2} m \frac{v^2}{r} - \frac{GMm}{r}$$

$$\text{d'où : } \frac{1}{2} m v^2 - \frac{GMm}{r} = 0$$

$$\text{d'où : } v = \sqrt{\frac{GM}{R}}$$

$$v = \sqrt{\frac{2GM}{R}}$$

A la surface de l'astre  $r = R$

$$v = \sqrt{\frac{2GM}{R}}$$

6. On a  $v = c$  soit :

$$c = \sqrt{\frac{2GM}{R_s}} \Rightarrow R_s = \frac{2GM}{c^2}$$

7. A.N pour le Soleil:

$$R_s = \frac{2 \times 1 \times 10^{-11} \times 2 \cdot 10^{30}}{(3 \cdot 10^8)^2} \approx \frac{1}{3 \cdot 10^3} \text{ m.}$$

$$R_s = \frac{2 \times 1 \cdot 10^{-11} \times 6 \cdot 10^{24}}{(3 \cdot 10^8)^2} = 9 \cdot 10^{-3} \text{ m.}$$

$$8. R_{\text{isco}} = \frac{6 \times 1 \cdot 10^{-11} \times 3,6 \cdot 10^6 \times 2 \cdot 10^{30}}{(3 \cdot 10^8)^2}$$

$$\approx \frac{1}{3 \cdot 4 \cdot 10^{10} \text{ m.}}$$

9. 1<sup>er</sup> vitesse cosmique : vitesse du satellite en orbite circulaire autour du trou noir

autour du trou noir :

PDF en proj selon  $\vec{v}$  :

$$v = \sqrt{\frac{GM}{R}}$$

$$= \sqrt{\frac{3 \cdot 10^{13} \text{ m.s}^{-1}}{3 \cdot 10^4 \text{ m.s}^{-1}}} \approx 3 \cdot 10^{8} \text{ m.s}^{-1}$$

$$v = \sqrt{\frac{GM}{R}}$$

$$= \sqrt{\frac{3 \cdot 10^{13} \text{ m.s}^{-1}}{3 \cdot 10^4 \text{ m.s}^{-1}}} \approx 3 \cdot 10^{8} \text{ m.s}^{-1}$$

10. D'après la 3<sup>me</sup> loi de Kepler : Soleil et sonde orbitent autour du trou noir.

$$\frac{T_{\text{soleil}}^2}{R_{\text{soleil}}^3} = \frac{T_{\text{sonde}}^2}{R_{\text{sonde}}^3} \rightarrow T_{\text{sonde}} = T_{\text{soleil}} \times \left( \frac{R_{\text{sonde}}}{R_{\text{soleil}}} \right)^{3/2}$$

$$On a \quad 2a_{\text{sonde}} = R_{\text{isco}} + d + r_{\text{ts}}$$

$$\text{or } r_{\text{ts}}, R_{\text{isco}} \ll d = 8 \cdot 10^3 \cdot 3 \cdot 10^{16} \\ \sim 10^{19} \text{ m} = 24 \cdot 10^{19} \text{ m}$$

$$d' \text{ une sonde} \sim \frac{d}{2}.$$

Q.Solip : Résult/transfert = d.

$$d' \text{ ou : } T_{\text{sonde}} = 2 \cdot 10^8 \times \left( \frac{d^{1/2}}{d} \right)^{3/2}$$

$$= 2 \times 10^8 \times \frac{1}{2^{3/2}} \\ = 2 \cdot 10^8 = \frac{1}{\sqrt{2}} \cdot 10^8 \text{ années.}$$

$$\sim 9,4 \cdot 10^8 \text{ années.}$$

or pour le voyage (transfert), Pa  
durée nécessaire est  $\bar{t} = T/2$

$$\boxed{\bar{t} = 3,5 \cdot 10^8 \text{ années.}}$$

### D - Banque PT 2017.

#### A.1. Microscope classique :

A.1.1. Conditions de Gauss : rayons  
peu inclinés % à l'axe optique +  
peu écartés de l'A.O  $\rightarrow$  approx des  
petits angles

qui est conjugué avec  $f'_1$  do -  
Ainsi l'œil emmitope n'a pas  
besoin d'accorder pour voir net.

$$A.N : \frac{\Delta = -5 + 120 - 15}{= 100 \text{ mm!}}$$

$$A.1.3 .1. \text{ On a } A \xrightarrow{u} A' \equiv F_2$$

D'après formule de conjugaison

$$\frac{1}{O_1 A'} - \frac{1}{O_1 F_2} = \frac{1}{f_1'}$$

$$\text{soit } \frac{1}{O_1 F_2} - \frac{1}{d} = \frac{1}{f_1'}$$

$$\text{or } O_1 F_2 = O_1 F_1' + f_1' F_2 = f_1' + \Delta.$$

$$\frac{1}{d} = \frac{\Delta}{f_1'(f_1' + \Delta)}$$

$$A.N : d = 5 \left( 1 + \frac{\Delta}{100} \right) = 5 \times 1,05$$

$$A.1.3 .2. \quad Y_1 = \frac{O_1 A'}{O_1 A} = \frac{f_1' + \Delta}{-d}$$

$$Y_1 = \frac{\Delta(1 + f_1'/\Delta)}{-f_1'(1 + f_1'/\Delta)} \Leftrightarrow Y_1 = -\frac{\Delta}{f_1'}$$

$$A.N : \boxed{Y_1 = -\frac{100}{5} = -20}$$

A.1.3.3. L'image intermédiaire est  
dans le plan focal object de la 2<sup>e</sup>

$$A.1.2. \quad \Delta = f_1' F_2 = f_1' O_1 + O_1 O_2 + O_2 F_2$$

$$= -f_1' + D_{\text{ofo}} - f_2'$$

$$R_{\text{isco}} \sim d = 8 \cdot 10^3 \cdot 3 \cdot 10^{16}$$

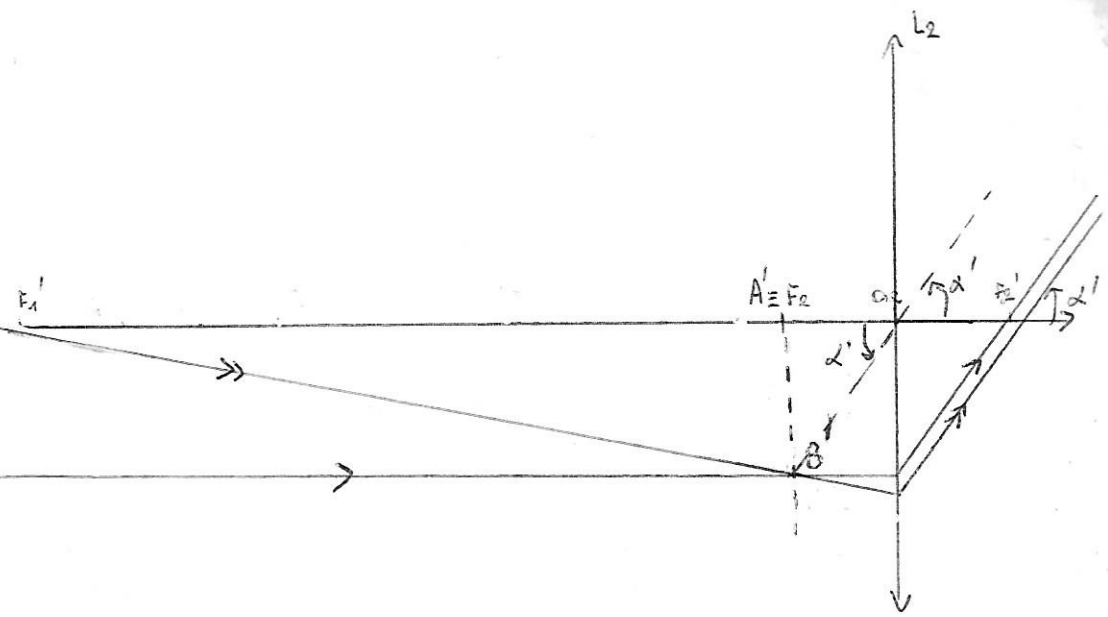
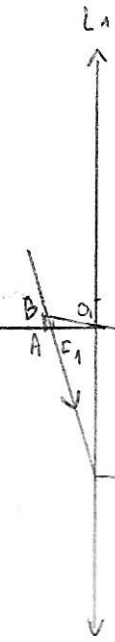
$$\sim 10^{19} \text{ m}$$

$$d' \text{ une sonde} \sim \frac{d}{2}.$$

$$A.1.2. \quad \Delta = -5 + 120 - 15$$

$$= 100 \text{ mm!}$$

$$A.1.3.4. -$$



A.1.4.

$$\text{Dans } O_2 F_2 B' : \tan \alpha' = \frac{A'B'}{f_2 O_2} = \frac{A'B'}{f'_2 e'}$$

or  $\alpha' \approx 1$  donc  $\tan \alpha' \approx \alpha'$

$$\text{et } A'B' = 181 \text{ AB}$$

$$\alpha' = \frac{181 \text{ AB}}{f'_2} = \frac{\Delta}{D}, \text{ AB}.$$

$$\tan |\alpha| = \frac{\Delta}{D}, \text{ AB} = |\alpha| D.$$

$$\alpha' = \frac{\Delta}{f'_2}, |\alpha|.$$

$$\text{d'apr's } \left[ G = \left| \frac{\alpha'}{\alpha} \right| = \frac{\Delta D}{f'_1 f'_2} \right]$$

$$\text{A.N. : } G = \frac{100 \times 250}{5 \times 15} = \boxed{300.}$$

A.1.5.1. on lit sur la vis

micrométrique 48 pour la position 2  
(trait partie mobile coïncide avec

le trait de la partie fixe) donc

$$\mathcal{E} = 13,48 - 13,40 = 0,08 \text{ mm}$$

Pour chaque mesure :

$$\Delta x = \frac{\Delta \text{gradualet}}{\sqrt{2}} = \frac{0,01 \text{ mm}}{\sqrt{2}}.$$

$$\text{or } \Sigma = x_2 - x_1 \quad \Delta \Sigma = \sqrt{\Delta x_1^2 + \Delta x_2^2}$$

$$\Delta \Sigma = \sqrt{2} \Delta x = \frac{0,01 \text{ mm}}{\sqrt{2}}$$

Pour avoir un int. de confiance de 95%  $k=2$ . soit  $\Delta \Sigma = \frac{2 \times 0,01}{\sqrt{2}}$

$$= 0,008 \text{ mm}$$

$$\text{Soit } \underline{\mathcal{E}} = 0,080 \pm 0,008 \text{ mm}$$

$$\begin{aligned} \text{B.1.3. On a } \vec{F} &= -e \vec{E} \\ \int \delta \omega_F^2 &= \int \vec{F} \cdot d\vec{l} = +eU = -eEd \\ \text{Soit } \boxed{E = -\frac{y}{d}} \end{aligned}$$

B.1.4.1.

PFJ appliquée sur  $e^-$ :

$$-e\vec{E} = \frac{eU}{d} \vec{u}_3 = m \vec{a} = m \vec{z} \quad \vec{u}_3$$

$$\text{donc } \vec{z} = \frac{eU}{md} \vec{u}_3 \rightarrow \vec{z} = \frac{eU}{md} t + K$$

$$\text{Or } \vec{u}(t=0) = 0 \text{ soit } K=0.$$

$$\vec{z} = \frac{eU}{md} \frac{t^2}{2}$$

$\vec{z} = d$  pour  $t_1$  tel que:

$$\sqrt{\frac{2dm}{eU}} = t_1 \quad \text{donc } \vec{z}(t_1) = \frac{eU}{md} \times d \sqrt{\frac{2m}{eU}}$$

$$\vec{v}_{t_1} = \frac{\sqrt{2eU}}{\sqrt{m}}$$

$$\text{On a A.N. : } \vec{v}_{t_1} = \sqrt{2 \times 2.10^{-11} \times 10^5}$$

$$= \sqrt{4} \cdot 10^8 = \boxed{2.10^{15}}$$

on a  $v \approx c$   $\rightarrow$  macro relativiste.

$$\boxed{\lambda \sim 4 \text{ pm}^-}$$

$$\begin{aligned} \text{B. 1. 4. 2)} \quad p &= mv = \frac{h}{\lambda} \\ \rightarrow \lambda &= \frac{h}{mv} \quad \text{A.N. : } \lambda = \frac{7 \cdot 10^{-4}}{2 \cdot 10^8} = 4 \cdot 10^{-12} \text{ m} \end{aligned}$$

$$\boxed{\lambda \sim 3 \text{ fm}^-}$$

$$\text{B. 1. 5. 1) TEC : } \Delta E_C = \mathcal{W}_F$$

$$\text{On } E_{C_{\text{ini}}} = 0 \text{ J car } v = 0 \text{ m.s}^{-1} \text{ donc } \gamma = 1.$$

$$\text{donc } \Delta E_C = (\gamma - 1) mc^2 = ev \quad (\text{cf B. 1. 3})$$

$$\text{donc } \boxed{\gamma = \frac{ev}{mc^2} + 1.}$$

$$\lambda = \frac{h}{\gamma mv} \quad (\text{de Braggé})$$

$$\text{or } 1 - \left(\frac{v}{c}\right)^2 = \frac{1}{\gamma^2} \rightarrow v = c \sqrt{1 - \frac{1}{\gamma^2}} = \frac{h}{mc \sqrt{\gamma^2 - 1}}$$

$$\lambda = \frac{h}{\gamma mc \sqrt{1 - \frac{1}{\gamma^2}}}$$

$$\text{B. 1. 5. 2. } \quad \gamma = 1 + \frac{ev}{mc^2}$$

$$\text{A.N. : } \gamma = 1 + \frac{2}{3} = \frac{5}{3} \sim 1,2.$$

$$\lambda = \frac{7 \cdot 10^{-4}}{3 \cdot 10^8 \times \sqrt{\left(\frac{5}{3}\right)^2 - 1}} = \frac{7}{3 \times 10^8} \cdot 10^{-12}.$$